

Lad os nu vende tilbage til den oprindelige opstilling, som vi bestykker med en ideal operationsforstærker, hvor $A_{V_D} \rightarrow \infty$.

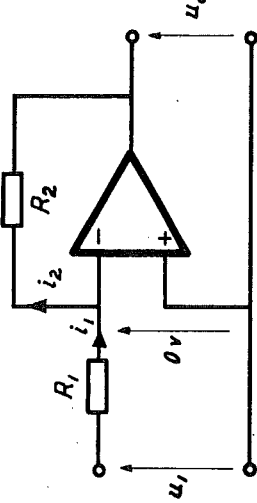


Fig. 6-13

Opstillingens spændingsforstærkning defineres som $A_V = u_o/u_1$
og bestemmes ud fra fig. 6-13.

Ovenfor er vist, at $i_1 = i_2$. Derfor kan skrives

$$\frac{u_1}{R_1} = \frac{u_o}{R_2}$$

Idet u_o/u_1 isoleres, fås følgende udtryk for forstærkningen

$$A_V = -\frac{R_2}{R_1} \quad (IC-1)$$

(IC-1) viser, at A_V kan variere på simpel vis ved f. eks. at gøre R_2 variabel. Resultatet er, at $R_2 = 0 \Omega$ giver $A_V = 0$, mens $R_2 \rightarrow \infty$ lader $|A_V| \rightarrow \infty$.

Sættes $R_1 = R_2$, bliver $A_V = -1$, og opstillingen fungerer som fasevender.

Opstillingens indgangsimpedans bestemmes let v.h.a. fig. 6-11, hvor det ses, at $R_{in} = u_1/i_1$ på grund af den lave R_2 -M-værdi er givet som

$$R_{in} = R_1 \quad (IC-2)$$

Udgangsimpedansen R_o vil vi vende tilbage til i et senere afsnit, hvor vi vil vise, at R_o går mod 0Ω .

b) IKKE-INVERTERENDE GRUNDKOBLING

I denne kobling føres indgangssignalet til +indgangen. R_1 og R_2 danner en modkoblings-spændingsdeler mellem udgang og -indgang.

Idet vi tænker os opstillingen bestykket med en ideal operationsforstærker med $A_{V_D} \rightarrow \infty$, opstilles udtryk for den modkoblede spændingsforstærkning.

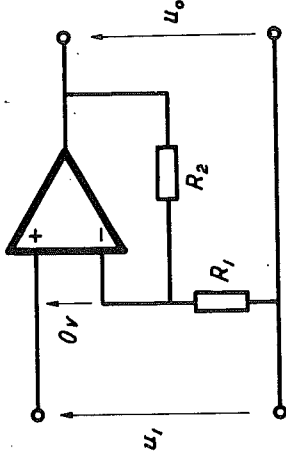


Fig. 6-14

Forstærkningen defineres som $A_V = u_o/u_1$. Da operationsforstærkeren på grund af den meget store umodkoblede spændingsforstærkning sørger for at holde spændingen mellem + og -indgangen lig med 0 V, kan vi jfr. fig. 6-14 opstille følgende simple sammenhæng mellem u_1 og u_o :

$$u_1 = u_o \frac{R_1}{R_1 + R_2}$$

Forstærkningen opnås ved omskrivning af ovenstående

$$A_V = \frac{u_o}{u_1} = \frac{R_1 + R_2}{R_1} \quad (IC-3)$$

Normalt noteres A_V på en anden form, idet ovenstående divideres igennem med R_1

$$A_V = 1 + \frac{R_2}{R_1}$$

I et senere modkoblings-afsnit skal vi vise, at indgangsimpedansen R_{in} går mod ∞ , mens udgangsimpedansen R_o går mod 0Ω .

En hyppigt anvendt udgave af den ikke-inverterende kobling er den såkaldte spændingsfølger, som fremkommer ved at sætte $R_1 = \infty$ og $R_2 = 0 \Omega$. Koblingen ses i fig. 6-15 sammen med dens data.

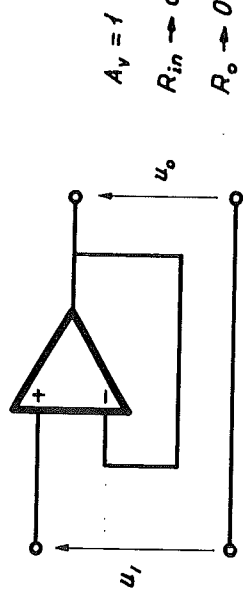
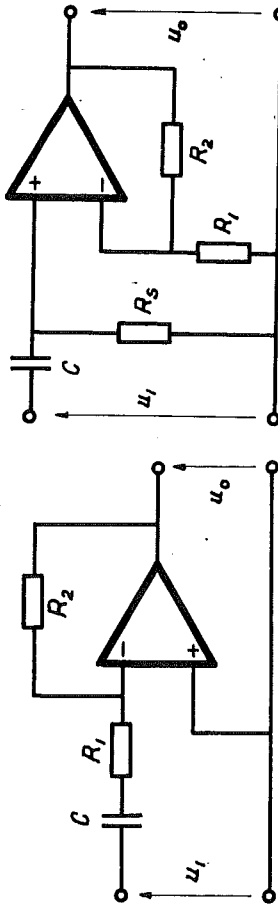


fig. 6-15

I det foregående har indgangssignalet været DC-koblet til forstærkerindgangene, således at både AC- og DC-komponenten i indgangssignalen forstærkes. Ønsker man kun AC-komponenten forstærket, indføres der overføringskondensatorer i indgangen på begge forstærkerkoblinger, som vist i fig. 6-16



Inverterende AC-forstærker

fig. 6-16

Ikke-inverterende AC-forstærker

$$f_C = \frac{1}{2\pi R_s C}$$

I den ikke-inverterende kobling er det nødvendigt at indføre R_S , idet forstærkeren ellers ikke vil have nogen DC-reference. Indgangsimpedansen bliver nu lig med R_S .

Overføringskondensatorerne vil naturligvis give begge opstillinger en nede grænsefrekvens f_n .

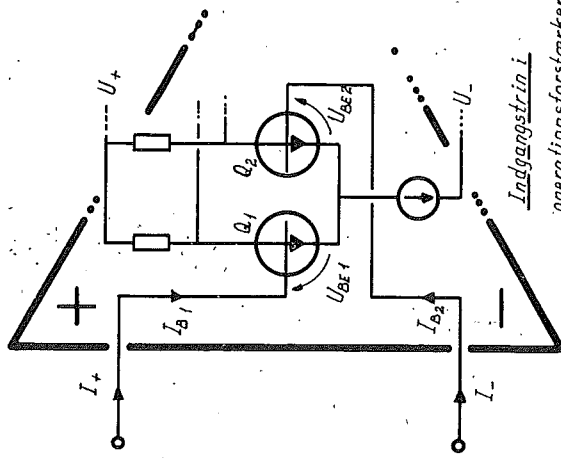
Efter præsentationen af de to grundkoblinger vil vi gå over til at se på problemerne omkring operationsforstærkerens DC-kobling.

OPERATIONSFORSTÆRKERENS DC OFFSET

I et tidligere afsnit har vi beskæftiget os med en typisk operationsforstærkers opbygning. Af fig. 6-4 fremgår det, at indgangstrinnet er en differensforstærker. Det er ikke muligt at matche de to transistorer heri så nøje, at de to basis-emitter karakteristikker er ens.

Der vil derfor være en vis forskel på de to U_{BE} -værdier, ligesom de to basisstrømme er forskellige.

Er første trin bestykket med FET's, vil det samme være gældende for U_{GS} og gate lækstrømmene.



STRØM TIL SPÆNDINGSCONVERTEREN

Mange transducerer, eksempelvis fotodioder og visse fotoceller, er karakteriseret ved, at de afgiver en strøm, som er proportional med den aktuelle fysiske transducerpåvirkning.

Den ideelle forstærker for en sådan strøm-transducer har en indgangsimpedans, som går mod 0Ω . Herved sikres, at transducerens kortslutningsstrøm udnyttes fuldt ud.

Denne egenskab besidder den inverterende operationsforstærker-grundkobling.

I fig. 8-1 er vist en forstærkeropstilling, hvor transduceren er en fotodiode.

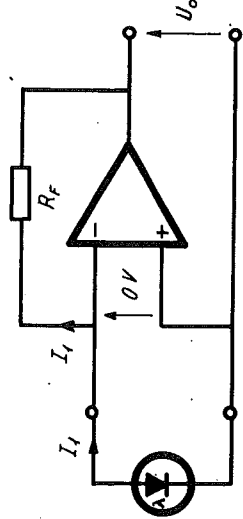


Fig. 8-1

Da Miller-modstanden $\frac{R_F}{1 + |A_V|}$ normalt vil være mindre end 1Ω og dermed væsentlig mindre end både operationsforstærkerens indgangsmodstand og transducerens indre modstand R_i , vil indgangssstrømmen I_1 , som i øvrigt svare til transducerens kortslutningsstrøm I_t , løbe i modkoblingsmodstanden R_F . Der kan derfor jfr. fig. 8-1, opstilles følgende simple udtryk for udgangsspændingen U_o :

$$U_o = -I_1 \cdot R_F \quad (\text{AK-1})$$

Vi ser, at indgangssstrømmen er konverteret til en udgangsspænding. Heraf navnet strøm til spændingskonverteren.

Ind os nu se på et andet typisk anvendelses-eksempel for strøm til spændingskonverteren.

I fig. 8-3 er vist en Analog til Digital til Analog converter (D/A converter), hvis udgangsspænding er proportional med en digital 8-bit information A_0 til A_7 , som tilføres den integrerede strøm D/A converter. (Motorola MC 1408 eller lignende).

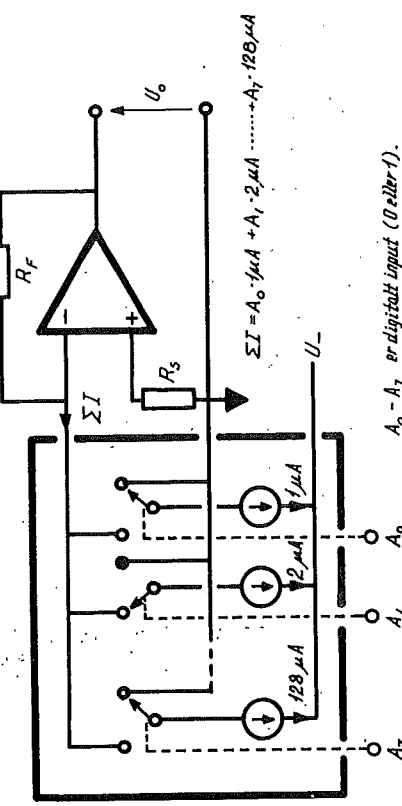


Fig. 8-3

Som vi har set tidligere, er modkoblingsmodstanden R_F udsat for Miller-effekten, således at opstillingens indgangsimpedans set fra transduceren bliver meget lav.

Ekvivalentdiagrammet for opstillingen kan derfor tegnes som vist i fig. 8-2

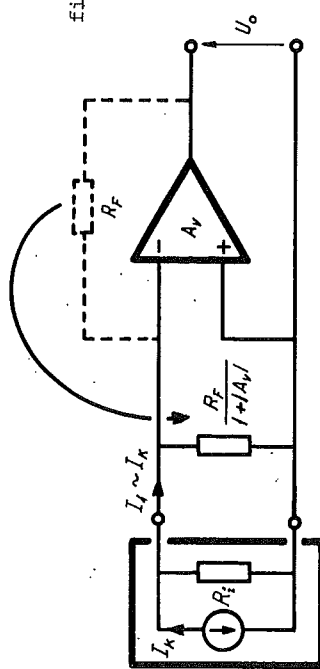


Fig. 8-2

Med det formål at reducere offsetfejlen på udgangen påført DC-balancen, idet $R_S = R_F$ er tilføjet på +indgangen.

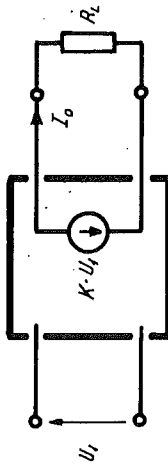
Da impedansen i strøm D/A converteren går mod ∞ , er spændingsforstærkningen for offset-spændingen U_{OS} den samme som spændingsfølgerens, nemlig 1.

Derfor bliver opstillingens samlede offsetfejl

$$U_{O_{\text{offset}}} = U_{OS} + I_{OS} \cdot R_F \quad (\text{AK-2})$$

SPÆNDING TIL STRØMCONVERTEREN

I visse tilfælde kan det være ønskeligt, at et analogt kredsloch som udgangssignal har en strøm, der er proportional med indgangsspændingen



Eksempelvis kan det være fordeleagtigt at konvertere signal-spændinger, som skal transmitteres via kabel over store afstande, til strømme.

Herved elimineres fejl forårsaget af kablets modstand, ligesom transmissionen bliver mere støjimmun.

Et eksempel herpå er den internationale 0-10 V til 4-20 mA industristandard for overførelse af forstærkede transducer-signaler.

Vi skal i det følgende se på to operationsforstærker-koblinger, der fungerer som næsten ideelle spænding til strøm convertere.

U/I CONVERTER MED SVÆVENDE BELASTNING.

Fig. 8-5 viser en simpel U/I converterkobling, hvor belastningen, her vist som en ohmsk modstand R_L , skal være svævende, d.v.s. uden nogen galvanisk forbindelse til stel.

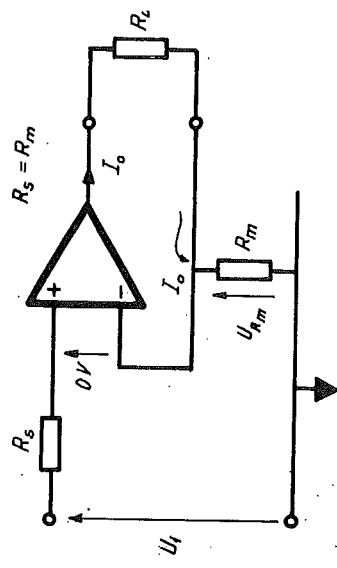


Fig. 8-5

Udgangstrømmen I_O gennemløber modkoblingsmodstanden R_m , og den resulterende spænding U_{RM} føres til operations-forstærkerens inverterende indgang som modkoblingsspænding.

I_O vil derfor altid antage en sådan værdi, at $U_{RM} = U_1$.

Der kan derfor opstilles følgende udtryk for udgangstrømmen:

$$I_O = U_1 \cdot \frac{1}{R_m} \quad (\text{AK-3})$$

(AK-3) gælder naturligvis kun, hvis spændingsfaldene over R_L og R_m sammenlagt ikke overstiger operationsforstærkers maksimale udgangsspænding.

Modstanden R_s giver DC-balance, således at offsetfejlen på I_o er bestemt af offsetspændingen og offsetstrømmen på følgende måde:

$$I_{o\text{ offset}} = \frac{U_{os}}{R_m} + I_{os} \quad (\text{AK-4})$$

U/I CONVERTER MED JORDET BELASTNING

Fig. 8-6 viser en U/I converterkobling, hvor belastningen R_L har den ene side lagt til stel.

Først god ordens skyld er der angivet et sæt komponentværdier, som vil resultere i en udgangssstrøm $I_o = 1 \text{ mA}$ pr. volt indgangsspænding U_1 .

Vi skal ikke have foretaget analyse af koblingen, men blot henweise til resultaterne, som findes i fig. 8-6.

En ulempe ved opstillingen er, at de to modstands-forhold, som angivet i (AK-5), skal være præcist ens.

Er dette ikke tilfældet, vil I_o være afhængig af R_L , hvilket jo er en uønsket egenskab ved opstillingen.

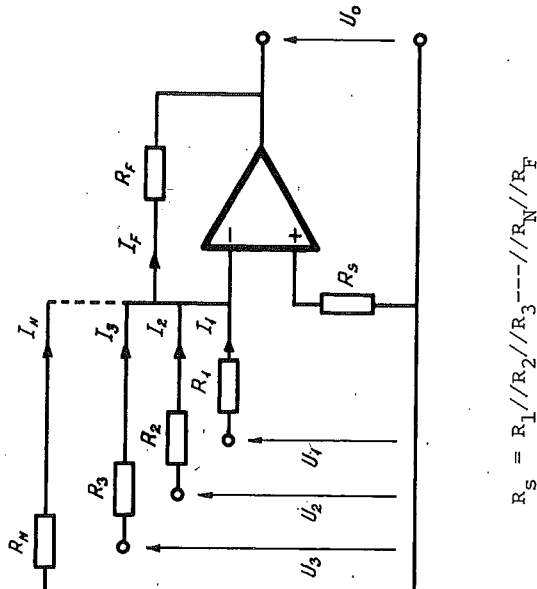
Som en afsluttende bemærkning skal nævnes, at der i halvlederfabrikanternes application notes vil kunne findes utallige andre varianter af spænding til strøm-converter koblingen.

Alle er, som de her viste koblinger, karakteriseret ved, at de virker som spændingsstyrede konstantstrømsgeneratorer med udgangsimpedansen gående mod ∞ .

DEN ANALOGE ADDITIONSKOBLING

Vi skal i det følgende se på den analoge additionskobling, som er i stand til at foretage addition af et vilkårligt antal signal-spændinger.

Koblingen, der ses i fig. 8-7, er baseret på den inverterende operationsforstærker-grundkobling, som er udbygget med flere indgange.



$$R_S = R_1 // R_2 // R_3 // R_N // R_F$$

fig. 8-7

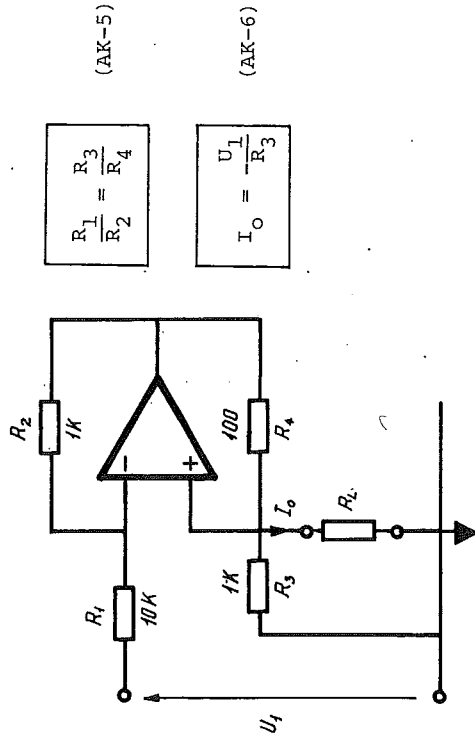


fig. 8-6

Som det er vist tidligere, er operationsforstærkerens inverterende indgang såkaldt "Virtuel Stel", således at indgangsmodstandene R_1 til R_N har den ene side liggende på stelpotentiiale. De enkelte indgangs vil derfor ikke påvirke hinanden. Da Miller-effekten på R_F samtidig vil medføre, at den samlede indgangsstrøm vil løbe videre i R_F , kan vi skrive, at

$$I_F = I_1 + I_2 + I_3 + \dots + I_N$$

Jfr. fig. 8-7 kan vi foretage følgende omskrivning:

$$\frac{U_O}{R_F} = \frac{U_1}{R_1} + \frac{U_2}{R_2} + \frac{U_3}{R_3} + \dots + \frac{U_N}{R_N}$$

Løser vi omskrivningen med hensyn til U_O , får vi

$$U_O = -\left(\frac{R_F}{R_1} U_1 + \frac{R_F}{R_2} U_2 + \frac{R_F}{R_3} U_3 + \dots + \frac{R_F}{R_N} U_N\right) \quad (\text{AK-7})$$

Det fremgår af (AK-7), at man ved at variere R_1 til R_N kan give de enkelte addender forskellige koeficienter.

Vælges modstandene, således at $R_1 = R_2 = R_3 = \dots = R_N = R$, reduceres (AK-7) til

$$U_O = -\frac{R_F}{R}(U_1 + U_2 + U_3 + \dots + U_N) \quad (\text{AK-8})$$

Additionen har fået "påbygget" forstærkningen $\frac{R_F}{R}$.

Sættes $R_F = R$, bliver resultatet en simpel addition med forstærkningen 1.

Theoretisk set kan antallet af indgange udvides i det uendelige, men i praksis er antallet begrænset, idet parallelforbindelsen af R_1 til R_N med mange indgange kan antage så lav en værdi, at operationsforstærkeren ikke længere er modkoblet tilstrækkeligt med reduceret båndbrede og uacceptabel offsetdrift til følge.

Lad os afslutningsvis se på et anvendelses-eksempel for additionskoblingen.

I fig. 8-8 er vist en Digital til Analog Converter, som benytter "Binary Weighted Resistor" princippet.

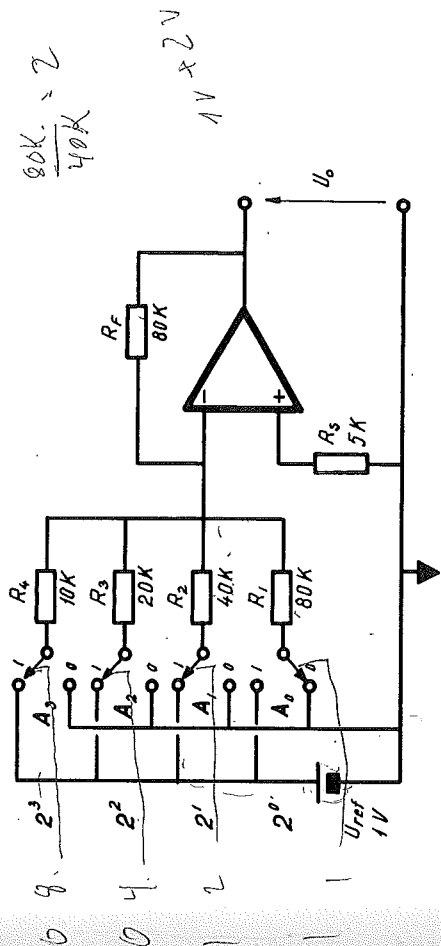


fig. 8-8

$$U_O = -U_{\text{ref}}(A_0 \cdot 1 + A_1 \cdot 2 + A_2 \cdot 4 + A_3 \cdot 8)$$

$$U_O = -U_{\text{ref}}(A_0 \cdot \frac{R_F}{R_1} + A_1 \cdot \frac{R_F}{R_2} + A_2 \cdot \frac{R_F}{R_3} + A_3 \cdot \frac{R_F}{R_4})$$

A_0 til A_3 kan antage værdiene 0 eller 1.

Dobbeltskillings-omskifterne er normalt FET analog switches, som styres af det digitale kredsløb.

I 0-stillingen er indgangene lagt til stel for at sikre DC-balance på operationsforstærkerens to indgange, således at offsetfejlen på U_O holdes på et minimum.

Additionskoblingens offsetfejl beregnes som vist for den inverterende grundkobling

$$U_{O_{\text{offset}}} = U_{OS} \left(1 + \frac{R_F}{R_1//R_2//R_N}\right) + I_{OS} \cdot R_F \quad (\text{AK-9})$$

DIFFERENSFORSTÄRKER-KOBBLINGEN

En af de hyppigst anvendte operationsforstærker-koblinger er differensforstærken, som er vist i fig. 8-9

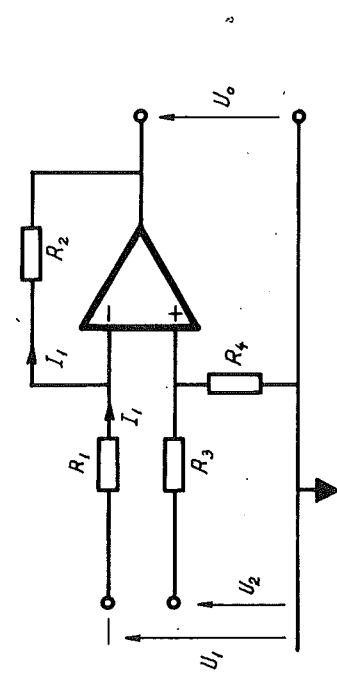


fig. 8-9

Kredsløbet er en kombination af den inverterende og ikke-inverterende grundkobling, idet U_1 er indgangssignal til den inverterende indgang, mens U_2 via spændingsdelen R_3 og R_4 er indgangssignal til den ikke-inverterende indgang.

Lad os opstille udtryk for udgangsspændingen U_o .

Da R_2 er udsat for Millereffekt, vil indgangsstrømmen I_1 fortsætte gennem R_2 . Vi kan derfor skrive, at

$$U_0 = U_1 - I_1(R_1 + R_2)$$

Da spændingsforskellen mellem operationsforstærkerens indgangsterminaler går mod 0, kan I_1 findes som

$$I_1 = \frac{U_1 - U_{R4}}{R_1} = \frac{U_1}{R_1} - \frac{U_2 \cdot \frac{R_4}{R_3 + R_4}}{R_1} \cdot \frac{1}{R_1} \quad (\text{AK-9})$$

Indsættes ovenstående i udtrykket for U_o , får vi

$$U_o = U_1 - \left(\frac{U_1}{R_1} - \frac{U_2}{R_1} \cdot \frac{\frac{R_4}{R_3 + R_4}}{R_1 + R_2}\right)(R_1 + R_2) \quad (\text{AK-10})$$

Efter multiplikation af paranteserne og diverse omordning fremkommer det generelle udtryk for opstillingens udgangsspænding

$$U_o = U_2 \cdot \underbrace{\frac{R_4}{R_3 + R_4}}_{\text{Spændings-}} \cdot \underbrace{\frac{R_1 + R_2}{R_1}}_{\text{Ikke-in-}} - U_1 \cdot \underbrace{\frac{R_2}{R_1}}_{\text{Inver-}} \cdot \underbrace{\frac{R_1 + R_2}{R_1}}_{\text{terende}} \cdot \underbrace{\frac{R_2}{R_1}}_{\text{forstær-}} \cdot \underbrace{\frac{R_2}{R_1}}_{\text{king}} \quad (\text{AK-10})$$

(AK-10) viser, at opstillingen udfører subtraktion, idet de to indgangsspændinger først multipliceres med hver sin koefficient.

Et hyppigt anvendt speciel-tilfælde fremkommer, hvis følgende ligheder indføres:

$$\frac{R_1}{R_2} = \frac{R_3}{R_4} \quad \text{og} \quad \frac{R_2}{R_1} = \frac{R_4}{R_2}$$

Benytter vi nu R_1 og R_2 i stedet for R_3 og R_4 , får vi opstillingen i fig. 8-10.

Bemærk, at der samtidig er indført DC-balancen.

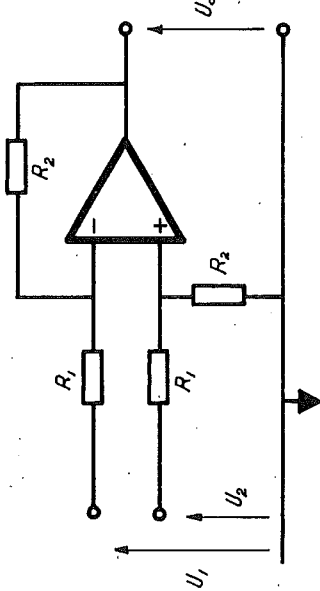


Fig. 8-10

Indsætter vi nu R_1 og R_2 på pladserne for R_3 hhv. R_4 i (AK-10), får vi

$$U_o = U_2 \frac{R_2}{R_1 + R_2} \cdot \frac{R_2 + R_1}{R_1} - U_1 \frac{R_2}{R_1} \quad (\text{AK-11})$$

$$U_o = (U_2 - U_1) \frac{R_2}{R_1} \quad (\text{AK-11})$$

(AK-11) viser, at opstillingen nu er en differensforstærker. U_o afhænger kun af differencen mellem de to indgangssignaler (som vi fremover vil kalde det differentielle indgangssignal U_{inD} , mens et Common Mode indgangssignal U_{inCM} (et signal fælles for de to indgange) vil blive undertrykt.

Betydningen af Common Mode undertrykkelsen illustreres ved et eksempel vist i fig. 8-11.

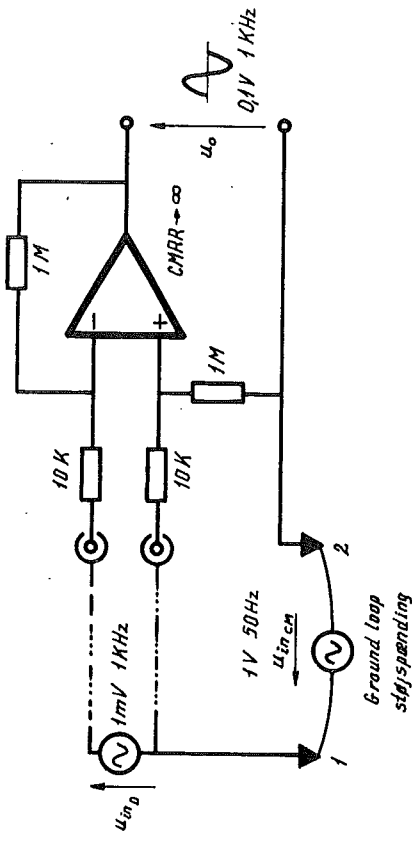


Fig. 8-11

Opstillingen er en transducer-forstærker med balanceret indgang. Signalet, som ønskes forstærker, er et 1 mV, 1 kHz transducersignal.

Transduceren er jordsluttet til jordklemme ①, mens forstærkeren er jordsluttet til jordklemme ②. Imellem de to jordklemmer ligger en ønsket - og undgåelig - ground loop spænding på 1 V.

Forstærkeren opfatter ground loop spændingen som en Common Mode indgangsspænding, da den set fra forstærkerens stel-terminal ② vil kunne måles på begge indgangsklemmerne (U_{inD} tænkes = 0 V).

Forudsat, at operationsforstærkerens CMR går mod ∞ , og modstandstolerancerne er 0, vil der ikke være noget 50 Hz signal at finde på udgangen.

Transducer-signalet derimod er et differentielt indgangssignal og forstærkes derfor i det aktuelle tilfælde 100 gange, således at U_o bliver et 0,1 V, 1 kHz signal.

Ser vi på et praktisk tilfælde, hvor operationsforstærkeren vil have $CMRR \neq \infty$, vil der naturligvis eksistere en 50 Hz signalandel på udgangen hidrørende fra ground loop generatoren.